

# Proposta de Projeto Orientado em Computação

## I

Artur Duarte Penna Vaz  
Orientador: Mário S Alvim

Universidade Federal de Minas Gerais, Brazil

## 1 Introdução

Proteger informação sensível do público é um objetivo importante de segurança. O campo do Fluxo Quantitativo de Informação (QIF) se preocupa em quantificar quanto de informação sensível um sistema vaza, e tem sido muito ativo na última década.

A representação do sistema é chamada de *Canal* e é a distribuição de probabilidade das saídas de cada entrada, essa definição modela o comportamento do sistema.

Em sistemas complexos derivar o canal diretamente não é trivial, ao contrário de sistemas pequenos/simples. A partir disso, foi proposto uma abordagem aproximativa que modela o canal da composição de partes do sistema e é proposto operadores que capturam as interações que ocorrem entre os componentes. Essa abordagem simplifica o processo de modelagem.

Com a orientação do professor Mário S. Alvim, o objetivo desse projeto é comparar a análise de fluxo de informação pela aproximação usando os operadores e o cálculo exato no canal, e modelar novos protocolos como composição de canais e analisar sua vulnerabilidade. Na primeira parte do Projeto Orientado em Computação será feita uma comparação do vazamento de informação em protocolos já estudados, usando as diferentes abordagens, e será implementada uma biblioteca em C++ para auxiliar esse projeto, e futuros. Na segunda parte novos protocolos serão analisados usando o método aproximativo.

## 2 Referencial Teórico

No campo de QIF, sistemas são modelados como canais de informação. Um canal é definido como uma função  $C : \mathcal{X} \times \mathcal{Y} \rightarrow \mathbb{R}$  onde  $\mathcal{X}$  é o grupo das entradas, ou valores secretos, e  $\mathcal{Y}$  é grupo das saídas, ou observáveis:

$$C(x, y) = p(y|x)$$

$C(x, y)$  é a probabilidade do sistema produzir o observável  $y$  dado o segredo  $x$ ,  $\forall x \in \mathcal{X}$  e  $\forall y \in \mathcal{Y}$ .

Por exemplo, podemos modelar um sistema de *login* onde  $\mathcal{X}$  é o grupo de todas as possíveis senhas e  $\mathcal{Y}$  um grupo de 2 elementos, se a senha é correta ou incorreta. Nesse sistema apenas um elemento é correto e o restante incorreto. O

| $C$      | Correto | Incorreto |
|----------|---------|-----------|
| "123456" | 1       | 0         |
| Restante | 0       | 1         |

Table 1: Representação matricial de um canal

canal do login (Table 1) é simples e interessante para perceber a interpretação do

canal. Em sistemas de segurança é comum ter varias observáveis possíveis para cada segredo.

Para entender como a informação vaza é preciso modelar também o *atacante*, que vê o observável e conhece o funcionamento do sistema. Além disso, o adversário pode saber alguma coisa sobre o segredo antes do sistema executar, definido como distribuição a priori  $\pi$  em  $\mathcal{X}$ .

Para quantificar a vulnerabilidade do sistema muitas funções foram usadas na literatura, como a *Shannon Entropy*[8], *Guessing Entropy*[6], *Bayes Vulnerability*[4] e *Rényi min-entropy*[9]. Recentemente, *g-leakage*[2] foi proposto e teve muito sucesso em generalizar as funções anteriores e capturar novos cenários.

Nessa estrutura, o grupo de ações possíveis  $\mathcal{W}$  e uma função de ganho  $g : \mathcal{W} \times \mathcal{X} \rightarrow [0, 1]$  definem o ganho do adversário ao escolher uma ação  $w \in \mathcal{W}$  dado o segredo  $x \in \mathcal{X}$ . Dado uma função de ganho  $g$ , a *g-vulnerability* a priori é:

$$V_g[\pi] = \max_{w \in \mathcal{W}} \sum_{x \in \mathcal{X}} \pi(x)g(w, x)$$

A *g-vulnerability* a priori mede o ganho esperado do adversário baseado no seu conhecimento prévio sobre o segredo se tomar a melhor decisão. Precisamos definir também a vulnerabilidade posterior:

$$\begin{aligned} V_g[\pi \rangle C] &= \sum_{y \in \mathcal{Y}} \max_{w \in \mathcal{W}} \sum_{x \in \mathcal{X}} \pi(x)g(w, x)C(x, y) \\ &= \sum_{y \in \mathcal{Y}} p(y)V_g(p(X|_y)) \end{aligned}$$

O vazamento de informação é o aumento da vulnerabilidade do segredo causado pela observação do output do sistema. Vazamento é definido pela comparação da vulnerabilidade posterior e a priori do segredo, existe a noção multiplicativa e aditiva[1]:

$$\mathcal{L}_g^\times[\pi \rangle C] = \frac{V_g[\pi \rangle C]}{V_g[\pi]} \quad \mathcal{L}_g^+[\pi \rangle C] = V_g[\pi \rangle C] - V_g[\pi]$$

Em[3] é definido operadores que capturam a interação entre os componentes e uma modelagem do protocolo *Dining Cryptographers* é apresentada.

### Operador paralelo ||

O operador paralelo modela a composição de dois canais que recebem a mesma entrada e as respectivas saídas observadas.

**Definição:** Dado *canais compatíveis*  $C_1 : \mathcal{X} \times \mathcal{Y}_1 \rightarrow \mathbb{R}$  e  $C_2 : \mathcal{X} \times \mathcal{Y}_2 \rightarrow \mathbb{R}$ , sua composição paralela  $C_1 \parallel C_2 : \mathcal{X} \times (\mathcal{Y}_1 \times \mathcal{Y}_2) \rightarrow \mathbb{R}$ , para todo  $x \in \mathcal{X}, y_1 \in \mathcal{Y}_1, y_2 \in \mathcal{Y}_2$ , temos:

$$(C_1 \parallel C_2)(x, (y_1, y_2)) = C_1(x, y_1) \cdot C_2(x, y_2).$$

### Operador visible choice $_p\sqcup$

O operador *visible choice* modela a escolha de qual canal executar a entrada, cada canal recebe uma probabilidade de executar. É retornado a saída e um identificador do canal executado.

**Definição:** Dado *canais compatíveis*  $C_1 : \mathcal{X} \times \mathcal{Y}_1 \rightarrow \mathbb{R}$  e  $C_2 : \mathcal{X} \times \mathcal{Y}_2 \rightarrow \mathbb{R}$ , a *hidden choice* é o canal  $C_{1p}\sqcup C_2 : \mathcal{X} \times (\mathcal{Y}_1 \sqcup \mathcal{Y}_2) \rightarrow \mathbb{R}$ , para todo  $x \in \mathcal{X}$  e  $(y, i) \in \mathcal{Y}_1 \sqcup \mathcal{Y}_2$ ,

$$(C_{1p}\sqcup C_2)(x, (y, i)) = \begin{cases} p \cdot C_1(x, y), & \text{se } i = 1 \\ (1 - p) \cdot C_2(x, y) & \text{se } i = 2 \end{cases}$$

### Operador hidden choice $_p\oplus$

O operador *hidden choice* é semelhante ao visível porem é retornado a saída sem um identificador.

**Definição:** Dado *canais compatíveis*  $C_1 : \mathcal{X} \times \mathcal{Y}_1 \rightarrow \mathbb{R}$  e  $C_2 : \mathcal{X} \times \mathcal{Y}_2 \rightarrow \mathbb{R}$ , a *hidden choice* é o canal  $C_{1p}\oplus C_2 : \mathcal{X} \times (\mathcal{Y}_1 \cup \mathcal{Y}_2) \rightarrow \mathbb{R}$ , para todo  $x \in \mathcal{X}$  e  $(y, i) \in \mathcal{Y}_1 \cup \mathcal{Y}_2$ ,

$$(C_{1p}\oplus C_2)(x, y) = \begin{cases} p \cdot C_1(x, y) + (1 - p) \cdot C_2(x, y), & \text{se } y \in \mathcal{Y}_1 \cap \mathcal{Y}_2 \\ p \cdot C_1(x, y) & \text{se } y \in \mathcal{Y}_1 \setminus \mathcal{Y}_2, \\ (1 - p) \cdot C_2(x, y), & \text{se } y \in \mathcal{Y}_2 \setminus \mathcal{Y}_1. \end{cases}$$

## 3 Metodologia

O projeto consiste em implementar as ferramentas e analisar a diferença entre a aproximação do vazamento, usando os operadores, e o cálculo exato feito diretamente no canal.

A primeira parte do projeto é implementar uma biblioteca em C++ que contenha o ferramental para análise. Essa biblioteca vai conter:

- Estrutura do canal
- Utilidades para a classe do canal
- Métricas antigas
- Métricas novas
- Operadores de composição

O canal vai ser definido como uma classe onde as métricas e os operadores são métodos. Será implementado algumas utilidades, por exemplo, gerar um canal aleatório, verificar se canais são compatíveis, etc.

A segunda parte é analisar a efetividade dos operadores de composição. Existem dois protocolos de segurança, *Dining Cryptographers*[5] e *Crowds*[7], comuns na literatura de QIF que podem ser usados para comparar o vazamento de informação usando os métodos diferentes.

## 4 Resultados Esperados

Ao final do POC I teremos uma implementação para o framework de QIF, com métricas e operações, que por si só já em um boa contribuição para futuras pesquisas. Além disso, mostrar que métodos aproximativos são uma alternativa viável para modelar sistemas de segurança contribui para a modelagem de sistemas cada vez maiores e complexos.

No POC II é esperado expandir a quantidade de sistemas de segurança modelados e analisados na literatura.

## 5 Etapas e Cronograma

O cronograma(Fig. 1) foi definido dividindo as etapas em blocos de semana, e pelo planejado a implementação e a análise deve estar pronta na época da apresentação parcial.

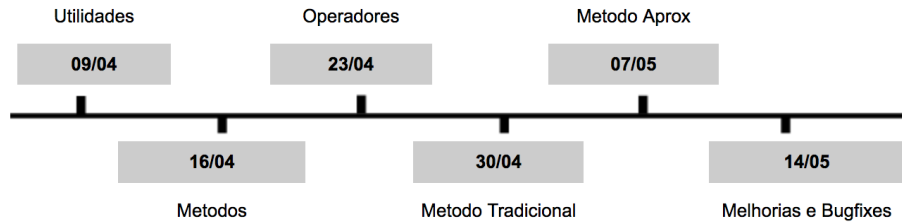


Fig. 1: Cronograma

Do dia 14/05 para frente será reservado para melhorar a usabilidade da biblioteca e resolver eventuais problemas.

## Referências

1. M. S. Alvim, K. Chatzikokolakis, A. McIver, C. Morgan, C. Palamidessi, and G. Smith. Additive and multiplicative notions of leakage, and their capacities. In *Proc. of CSF*, pages 308–322. IEEE, 2014.
2. M. S. Alvim, K. Chatzikokolakis, C. Palamidessi, and G. Smith. Measuring information leakage using generalized gain functions. In *Proc. of CSF*, pages 265–279, 2012.
3. A. M. Arthur Américo, Mário S. Alvim. An algebraic approach for reasoning about information flow. *arXiv preprint arXiv:1801.08090*, (3), 2018.
4. C. Braun, K. Chatzikokolakis, and C. Palamidessi. Quantitative notions of leakage for one-try attacks. In *Proc. of MFPS*, volume 249 of *ENTCS*, pages 75–91. Elsevier, 2009.
5. D. Chaum. The dining cryptographers problem: Unconditional sender and recipient untraceability. *Journal of Cryptology*, 1:65–75, 1988.

6. Massey. Guessing and entropy. In *Proceedings of the IEEE Int. Symposium on Information Theory*, page 204. IEEE, 1994.
7. M. K. Reiter and A. D. Rubin. Crowds: anonymity for Web transactions. *ACM Trans. on Information and System Security*, 1(1):66–92, 1998.
8. C. E. Shannon. A mathematical theory of communication. *Bell System Technical Journal*, 27:379–423, 625–56, 1948.
9. G. Smith. On the foundations of quantitative information flow. In *Proc. of FOS-SACS*, volume 5504 of *LNCS*, pages 288–302. Springer, 2009.